

**CONGRÈS FRANÇAIS DE THERMIQUE 2014**

**APPROCHES MULTI-ÉCHELLES**

POUR LA THERMIQUE. L'ÉNERGÉTIQUE  
ET LE GÉNIE DES PROCÉDÉS

**Du 3 au 6 juin 2014**

**Lyon, France**



SOCIÉTÉ FRANÇAISE  
DE THERMIQUE

## Livret-programme du Congrès de la SOCIÉTÉ FRANÇAISE DE THERMIQUE



Société Française  
de Thermique

**3 - 6 juin 2014, Lyon**

<http://www.congres-sft.fr/2014/>

**Congrès organisé par :**



**avec le soutien de :**





## Programme du Congrès français de Thermique (Lyon, 3-6 Juin 2014)

### Mardi 3 juin

- 14h00 - 17h30 : Inscriptions Amphithéâtre Lespinasse, INSA  
 13h30 - 16h00 : Réunions des commissions de la SFT (ouvert à tous) CETHIL, Salle 3.09, Bât. Carnot, INSA  
 16h00 - 16h30 : **Bienvenue et ouverture** Amphithéâtre Lespinasse, INSA  
 16h30-17h30 : **Conférence plénière 1** « *Approche multiphysique en mécanique des milieux discrets* » par  
 Jean-Paul Caltagirone, I2M Bordeaux Amphithéâtre Lespinasse  
 20h00 - 22h30 : Soirée d'accueil Château de Montchat, place du Château, 69003 LYON  
(tramway T3, arrêt Renaissance-Balzac)

### Mercredi 4 juin

- 8h30 - 10h00 : Inscriptions Atrium CPE Lyon  
 9h00 - 10h00 : **Conférence plénière 2** « *Cinq défis thermiques pour réduire la consommation des camions* »  
 par Marc Lejeune, Directeur de la Recherche Renault-Trucks Grand Amphi CPE  
 10h00 - 10h30 : **Pause-café** Atrium CPE  
 10h30 - 12h30 : **Séance d'affiches 1** Salles F002-003-004-005 + couloir d'accès  
 12h45 - 14h00 : **Déjeuner** Restaurant de l'INSA "Le Grillon"  
 14h00 - 15h00 : **Conférence plénière 3** « *Échangeurs-réacteurs, réacteurs autothermes : concepts, performances, verrous* » par Isabelle Pitault, LGPC, Lyon Grand Amphi CPE  
 15h00 - 16h30 : **Séance d'affiches 2** Salles F002-003-004-005 + couloir d'accès  
 16h30 - 17h00 : **Pause-café** Atrium CPE  
 17h00 - 19h00 : **Ateliers-débats**  
 1 : *Le confort thermique : de l'individu à la ville* (F. Allard - LaSIE) Grand Amphi CPE  
 2 : *Couplage convection-rayonnement : un problème scientifique non résolu*  
 (D. Lemonnier - Institut P' & S. Xin - CETHIL) Petit Amphi CPE  
 19h00 : Soirée libre Petit Amphi CPE  
 NB : 19h : réunion du C.A. de la SFT

### Jeudi 5 juin

- 8h30 - 9h30 : **Conférence plénière 4** « *La mobilisation des objets techniques (fourniture d'énergie, transport, etc.) dans les activités quotidiennes urbaines.* » par Jean-Yves Toussaint et Sophie Vareilles, EVS-EDU et Labex IMU (Intelligence des Mondes Urbains) Grand Amphi CPE  
 9h30 - 10h00 : **Pause-café** Atrium CPE  
 10h00 - 11h30 : **Séance d'affiches 3** Salles F002-003-004-005 + couloir d'accès  
 11h30 - 12h30 : Assemblée Générale de la SFT Grand Amphi CPE  
 12h45 - 14h00 : **Déjeuner** Restaurant de l'INSA "Le Grillon"  
 14h00 - 15h00 : Réunions groupes thématiques Grand Amphi + Petit Amphi  
+ autres salles à confirmer si besoin  
 15h00 - 16h30 : **Séance d'affiches 4** Salles F002-003-004-005 + couloir d'accès  
 16h30 - 17h00 : **Pause-café** Atrium CPE  
 17h00 - 19h00 : **Ateliers-débats**  
 3 : *L'approche "système" en thermique industrielle* Grand Amphi CPE  
 (A. Degiovani - LEMTA & Olivier Verseux - AIRBUS)  
 4 : *Nouvelles frontières de la thermique : la micro- et la nanothermique* Petit Amphi CPE  
 (P.O. Chapuis & S. Lefèvre - CETHIL)  
 19h00 - 19h30 : Réunion du jury pour le prix Biot-Fourier Petit Amphi CPE  
 20h00 - 23h30 : **Repas de gala** Les Terrasses du Parc, 115 bd de Stalingrad, 69100 Villeurbanne.  
(à 20 min de marche depuis CPE Lyon, sinon, tram T1 arrêt "Tonkin")

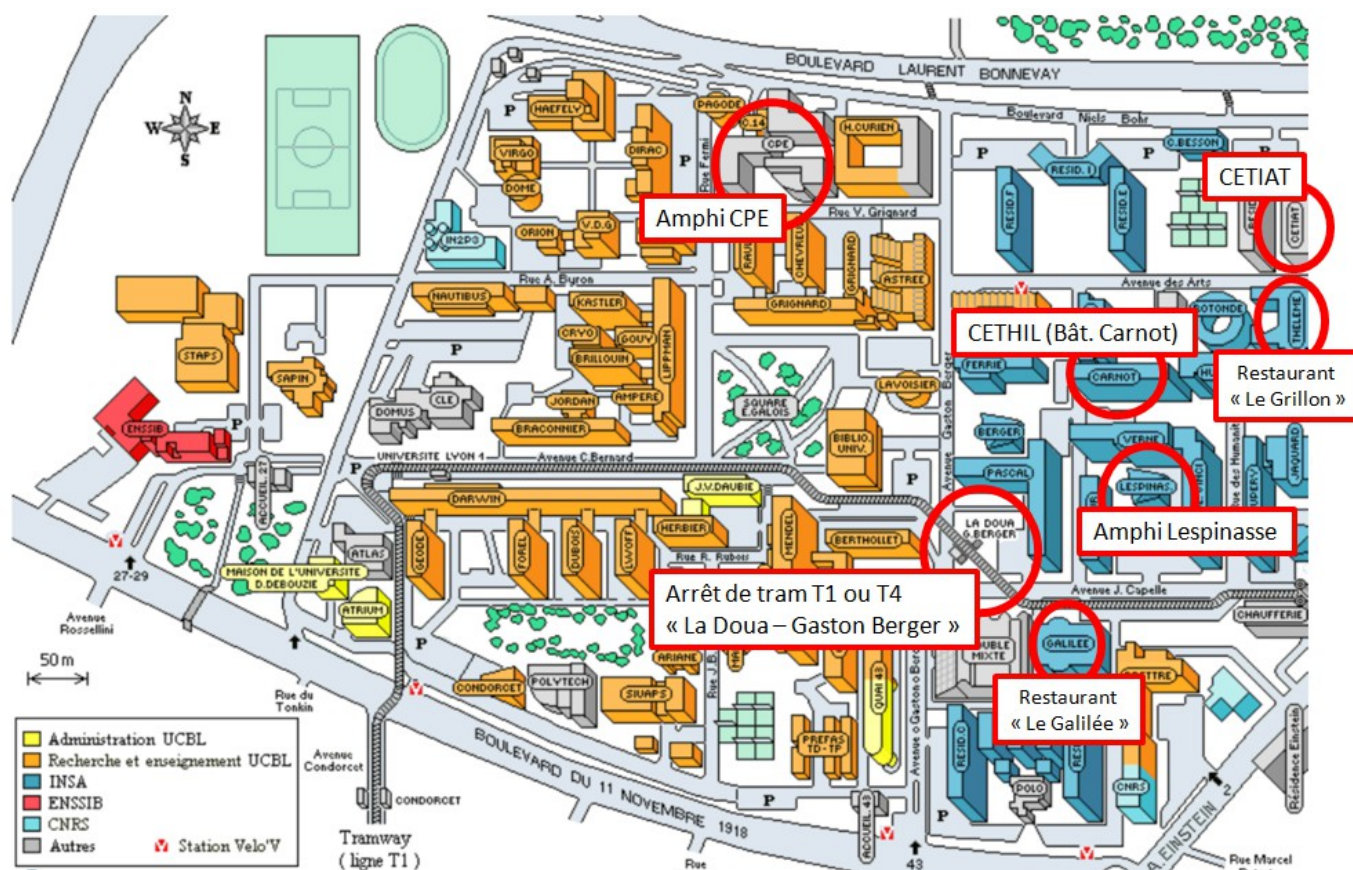
### Vendredi 6 juin

- 9h00 : **Rendez-vous pour la visite du LMFA** RV devant CPE Lyon  
 (transport en autobus jusqu'à l'École Centrale de Lyon)  
 9h30 - 11h30 : **Visite (selon inscription) du CETHIL, du CETIAT, du LAGEP, ou du LMFA**  
 CETHIL : RV 9h30 à l'amphithéâtre Lespinasse  
 CETIAT : RV 9h30 devant le CETIAT  
 LMFA : RV 9h00 devant CPE Lyon (transport en autobus)  
 LAGEP : RV 9h30 devant CPE Lyon  
 12h00 - 13h30 : **Déjeuner**  
**ATTENTION** : Restaurant "Castor et Pollux, Bat. Galilée, en face du tramway Gaston Berger

A l'exception du Château de Montchat (soirée d'accueil) et des Terrasses du Parc (repas de gala), tous les lieux (sessions, restauration, visites, etc.) sont accessibles à partir de l'arrêt "La Doua - Gaston Berger" des lignes de tramway T1 ou T4

# Congrès français de Thermique Lyon, 3 - 6 juin 2014

## Plan de localisation des bâtiments du Campus LyonTech - La Doua



### Durées indicatives de transport

Campus LyonTech - La Doua / Gare de la Part-Dieu : 15 min en tramway T1 ou T4

Gare de la Part-Dieu / Château de Montchat : 15 min en tramway T3

Campus LyonTech - La Doua / "Les Terrasses du Parc" : moins de 20 min de marche

Campus LyonTech - La Doua / Aéroport : < 1h (tramway T1 ou T4 et navette Rhônexpress)

# Congrès français de Thermique Lyon, 3 - 6 juin 2014

## Plan d'accès au Château de Montchat (soirée d'accueil, mardi 3 juin 2014, 20h - 22h30)

### accès depuis le tramway T3 recommandé



#### Itinéraire

- Du centre ville : par l'avenue Lacassagne, puis l'avenue du Château
- De l'extérieur : par le boulevard Périphérique sortie Porte de Montchat, puis route de Genas et cours du Docteur Long
- En transport en commun :
  - M** Ligne D station Grange Blanche puis bus C26 direction Cité Internationale arrêt Charles Richard
  - B** Bus 25 depuis la Part-Dieu - Vivier-Merle direction 7 chemins arrêt Charles Richard
  - T** Tramway T3 depuis la Part-Dieu - Villette direction Meyzieu ZI arrêt Reconnaissance-Balzac

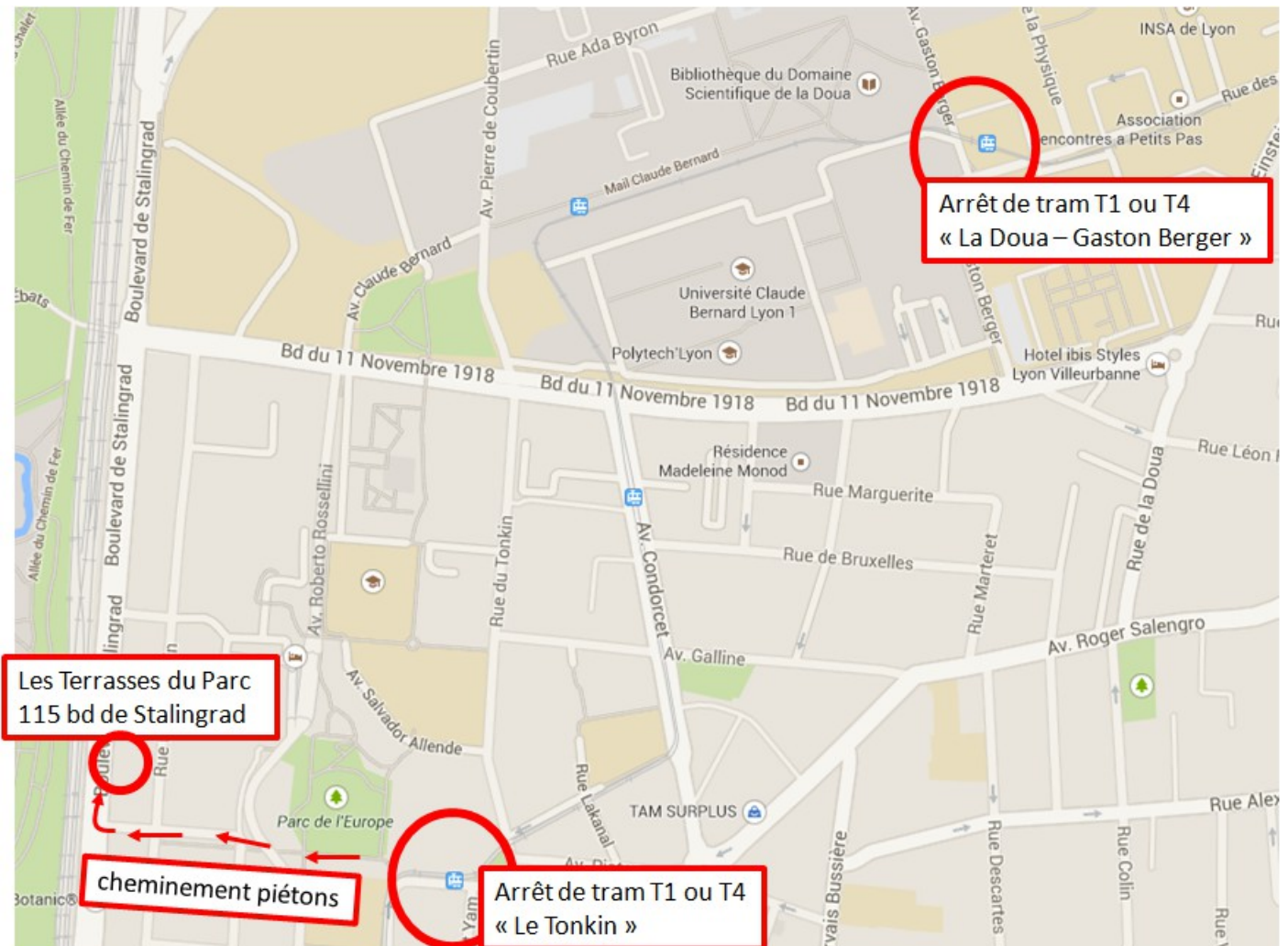
#### Stationnement

Tout est prévu pour faciliter votre arrivée : 65 places privées sont disponibles au Château dont 25 en garage couvert.

**Congrès français de Thermique  
Lyon, 3 - 6 juin 2014**

**Plan d'accès aux "Terrasses du Parc"  
(dîner de gala, jeudi 5 juin 2014, 20h - 23h30)**

**accès depuis le tramway T1 "Le Tonkin" ou à pieds depuis le campus (15-20 min)**



**Séance d'affiches 1****Mercredi 4 juin de 10h30 à 12h30****Salles F002-003-004-005 + Couloir d'accès**

N° poster	Titre	Auteur Principal
125	Le modèle SLW généralisé	ANDRE Frédéric
153	Développement et étude du modèle de réservoir dans la modélisation transitoire d'une boucle diphasique à pompage capillaire	BLET Nicolas
41	Thermographie infrarouge stimulée appliquée à la détection du syndrome du canal carpien	BODNAR Jean Luc
149	Simulation numérique de l'absorption d'hydrogène dans un réacteur annulaire d'hydrure de métal avec refroidissement tubulaire	BOUKHARI Ali
89	Etude numérique de l'écoulement et du transfert de chaleur de nanofluide dans une conduite circulaire inclinée en mode de convection mixte	BOUTRA Abdelkader
169	Compréhension du chauffage par induction du corium dans les essais VULCANO d'interaction corium-béton	BOUYER Viviane
45	Modélisation et simulation numérique du frittage sous charge d'un composite conducteur	BRISSON Elodie
117	Diagnostic de structures de génie civil : Identification des propriétés spatiales et de la surface d'un défaut	BROUNS Jordan
21	Simulation Numérique Directe d'une cavité différentiellement chauffée à haut nombre de Rayleigh dans une cavité réaliste	CADET Laurent
157	Modélisation d'une machine à absorption H <sub>2</sub> O/LiBr à plaques et films ruisselants.	CAP Jean-Francois
69	Convection naturelle dans une couche de mélange avec transferts couplés de chaleur et de masse	CHAABI Essia
73	Modélisation thermo-hydraulique tri-dimensionnelle du soudage laser	COURTOIS Mickael
105	Modélisation des transferts thermiques au travers d'un tube aileté placé dans une chambre de combustion de chaudière biomasse	CREYX Marie
137	Développement d'un banc expérimental dédié à la caractérisation de propriétés thermophysiques de métaux liquides - Validation de la mesure de température par méthode multispectrale et par thermocouple	DEJAEGHERE Laurent
53	Transferts énergétiques par rayonnement dans une torche à plasma	DUDECK Michel
85	Carte d'écoulement pour des écoulements de condensation à faibles vitesses massiques à l'intérieur d'un micro-tube horizontal de section carrée	EL ACHKAR Georges
161	Effet du rapport de forme sur la convection naturelle au sein d'une cavité tridimensionnelle soumise à des gradients croisés de température et de concentration	ELKARAM Mohamed
57	Étude du potentiel de l'extension de l'intégration énergétique de l'échelle locale à l'échelle territoriale	FARHAT Alaa
13	Refroidissement par un jet impactant des composants électroniques en convection mixte en utilisant un nanofluide	HADERBACHE Abdessalam
9	Influence des paramètres de cristallisation sur les propriétés radiatives de polymères semi-cristallins	HAKOUME Donia
109	Effet de l'excentricité sur le transfert de chaleur et l'épaisseur du film liquide dans un caloduc tournant	HASSAN Hamdy

77	Modélisation des échanges thermiques dans un capteur solaire hybride avec concentrateur holographique	IUREVYCH Olena
61	Mise en évidence expérimentale de l'instabilité de Rayleigh-Bénard dans le cas de fluides rhéofluidifiant (CMC carboxyméthylcellulose)	KEBICHE Zineddine
25	Effet d'un champ magnétique transverse sur le transfert de chaleur et de masse en convection mixte autour d'un cylindre horizontal dans un milieu poreux	KESSAL Mohand
93	Etude expérimentale d'un interposeur thermique à changement de phase pour le management thermique de composants électroniques	KINKELIN Christophe
129	Trois méthodes pour une amélioration du calcul de la température et du flux dans les multicouches avec sources internes dans le cadre de l'approche quadripolaire	KRAPEZ Jean-Claude
33	Comparaison du refroidissement de surfaces à hautes températures en utilisant des sprays polydisperses ou jet liquide dans des conditions semi-industrielles	LABERGUE Alexandre
81	Transferts thermiques dans la zone de stabilisation d'une flamme non-prémélangée attachée : effets de la conductivité thermique du brûleur	LAMIGE Sylvain
113	Etude de l'état de surface et des zones fondues d'un matériau usiné par un laser impulsif nanoseconde	LE GUEN Emilie
17	Etude du capteur solaire plan vitré AF24VE2	MAHMOUDI Assia
1	Modélisation stochastique de l'interaction chimie / turbulence de la combustion homogène Diesel : effets du temps turbulent	MAROTEAUX Fadila
5	Des méthodes ensemblistes pour le diagnostic des performances énergétiques des bâtiments	MERHEB Rania
133	Etude expérimentale de l'intensification du transfert de chaleur dans un matériau à changement de phase	MERLIN Kevin
49	Modélisation et Simulation multiphysique 3D d'écoulements à surface libre pour différentes conditions opératoires en soudage à l'arc TIG	NGUYEN Minh Chien
37	A propos de la modélisation numérique de la convection forcée de gaz dans des micro-conduites	NICOLAS Xavier
165	Comparaison de différentes méthodes d'intensification des transferts thermiques dans un module de stockage thermique : suivi du front de fusion par thermographie et simulation numérique	OLIVÈS Régis
141	Etude expérimentale des transferts de masse et de chaleur pour un absorbeur à film ruisselant	PERIER-MUZET Maxime
29	Appareil de caractérisation multifonctionnel des propriétés thermophysiques et des cinétiques de cristallisation des thermoplastiques	PIGNON Baptiste
101	Etude d'une nouvelle conception permettant de chauffer l'eau domestique par la chaleur libérée par les systèmes CVC	RAMADAN Mohamad
121	Mesure instantanée du champ de vitesse de gouttes-filles issues d'une micro-explosion	TARLET Dominique
97	Un modèle dynamique flexible pour prédire les réponses transitoires des échangeurs évaporateurs et condenseurs	WU Jing

**Séance d'affiches 2****Mercredi 4 juin de 15h00 à 16h30****Salles F002-003-004-005 + Couloir d'accès**

N° Papier	Titre	Auteur principal
22	Effet du chauffage sur la vitesse de glissement d'une solution de carboxyméthylcellulose s'écoulant dans des conduites cylindriques	ABCHICHE Hacina
114	Etude expérimentale des champs de températures dans un écoulement d'élastomère ' Influence de la géométrie d'écoulement	ALLANIC Nadine
118	Etudes du dépôt d'énergie dans le noyau d'un calorimètre dédié à la mesure de l'échauffement nucléaire.	AMHARRAK Hicham
126	La méthode des k-moments généralisés pour le calcul approché des coefficients d'absorption de gaz par le modèle CK	ANDRE Frédéric
145	Etude expérimentale et modélisation de l'échauffement de la caténaire lors du captage à l'arrêt	BAUCOUR Philippe
130	Convection naturelle au sein d'une cavité poreuse verticale saturée par un fluide binaire non newtonien	BEN KHELIFA Nabil
66	Etude numérique de la convection mixte laminaire dans une cavité carrée remplie de nano-fluides	BESSAIH Rachid
65	Estimation de la diffusivité thermique locale de peintures murales du patrimoine par thermographie infrarouge stimulée	BODNAR Jean Luc
10	Validation expérimentale d'un modèle d'identification des paramètres thermiques du bâtiment	BOUACHE Toufik
150	Étude numérique d'instabilité thermique dans un écoulement horizontal en convection mixte	BOUHANT Hassene
2	Amplification de l'instabilité hydrodynamique par pulsation d'un nano fluide durant le refroidissement des composants électroniques	BOUTTOUT Abdelouahab
154	Influence des propriétés physiques sur le débit d'évaporation de gouttes sessiles sur substrat chauffé	CARLE Florian
70	Modélisation des résistances thermiques de contact solide-solide	CHADOULI Rachid
54	Transfert thermique conductif balistique-diffusif	CHAPUIS P-Olivier
142	Traitement des eaux usées industrielles par congélation sur paroi froide : modélisation de la convection naturelle	COGNE Claudia
30	Calcul des paramètres physico-chimique de la dégradation des matériaux composites avec une méthode d'optimisation	COPPALLE Alexis
34	Convection forcée lors de l'écoulement d'un fluide de Bingham dans une conduite à section droite carrée avec prise en compte de la dissipation visqueuse	DANANE Fetta
110	Influence de l'échauffement de structure sur la réponse d'une cellule calorimétrique prototype dédiée à la mesure de l'échauffement nucléaire.	DE VITA Cédric
86	Modélisation thermique du procédé de placement de fibres de carbone pré-imprégnées de résine PolyEther-Ether-Ketone (PEEK) par chauffe laser	DOLO Guillaume
46	Reconstruction de propriétés radiatives par inversion de l'approximation diffuse	DUBOT Fabien
138	Mesure de propriétés thermophysiques de tubes multicouches cylindriques de fine épaisseur en composites SiCf/SiC par méthode flash	DUQUESNE Loys
166	Système de refroidissement sec et de production d'eau pour centrale électrosolaire thermodynamique à cycle de Rankine.	ESPARGILLIÈRE Harold
38	Étude de l'influence des défauts d'isotropie dans les composites biphasés renforcés par des particules interconnectées	FERGUEN Nabil
58	Étude numérique de l'interaction entre un canal vertical asymétriquement chauffé et son environnement extérieur	GARNIER Charles

94	Séchage d'un milieu poreux soumis à un écoulement turbulent	HELEL Dalel
122	Effets thermiques de l'arrosage de l'espace public comme moyen d'adaptation au changement climatique	HENDEL Martin
14	Etude de l'effet de la distribution de température d'air en amont d'un échangeur de chaleur sur sa performance thermique - Code de calcul deux dimensions	KHALED Mahmoud
156	Caractérisation expérimentale d'un moteur Stirling de type Beta	KHIRZADA Hakeem
18	Etudes expérimentale et numérique d'un mur pariétodynamique associé à un chauffage bois modulable à haut rendement	KOUSKSOU Tarik
90	Caractérisation de l'écoulement d'un fluide de Bingham thermodépendant au sein d'une conduite cylindrique.	LABSI Nabila
106	Identification des propriétés radiatives et du champ de température de matériaux fibreux de faible densité Application aux barrières thermiques hautes températures	LE FOLL Sébastien
148	Étude expérimentale de l'influence d'un chauffage localisé sur la convection de Rayleigh-Bénard-Marangoni dans une couche liquide en récipient cylindrique	LE GUER Yves
74	Approche multi-physique et multi-échelle d'un régénérateur magnétique actif	LIONTE Sergiu
78	Modélisation des pertes énergétiques par défaut d'étanchéité dans un moteur de Stirling	MABROUK Mohamed
134	Transmission de phonons acoustiques dans des cristaux phononiques asymétriques	NGHIEM THI Thu Trang
162	Modélisation des propriétés radiatives des suies issues de combustions incomplètes au moyen de l'approximation dipolaire discrète	OKYAY Gizem
82	Paramètres clés contrôlant la taille des cristaux de glace après congélation initiée par ultrasons	PECZALSKI Roman
26	Etude comparative des méthodes simplifiées de prise en compte des ponts thermiques dans la simulation dynamique de bâtiments	QUINTEN Julien
102	Réduction de la consommation d'énergie par un système efficace de récupération de la chaleur de l'eau de douche - Analyse expérimentale	RAMADAN Mohamad
170	Prise en compte du couplage échantillon-support pour la caractérisation thermique à haute température de matériaux anisotropes	RODIET Christophe
158	Utilisation de la microscopie thermique à sonde locale (SThM) pour la détermination de la conductivité thermique	SACI Abdelhak
84	Etude de l'impact des « cool roof », de la ventilation naturelle et de l'inertie thermique du sol sur les performances énergétiques de bâtiments commerciaux	SALAGNAC Patrick
146	Analyse numérique et optimisation des performances thermo-aérauliques d'un échangeur à quatre rangs de tubes ailetés par l'approche factorielle de Taguchi	SIMO TALA Jules Voguelin
98	Application de la théorie de la réponse nonlocale macroscopique de la fonction diélectrique pour l'étude du transfert radiatif de chaleur en champ proche entre deux matériaux diélectriques thermostatiques	SINGER Farah
42	Modification des structures turbulentes dues à un fort gradient de température dans un écoulement quasi-compressible soumis.	TOUTANT Adrien
62	Intensification des transferts par génération de turbulence élastique	TRAORE Boubou
50	Modélisation du productible d'un module photovoltaïque en silicium cristallin en fonction des contraintes climatiques	WEISS Lucas

**Séance d'affiches 3****Jeudi 5 juin 10h00 à 11h30****Salles F002-003-004-005 + Couloir d'accès**

N° Papier	Titre	Auteur principal
91	Étude numérique et expérimentale de la conductivité thermique effective des composites chargés avec des tubes creux conducteurs	AADMI Moussa
51	Etude du transfert de chaleur via le ménisque d'eau formé au contact entre une surface et une pointe chaude	ASSY Ali
47	Etude des propriétés thermodynamiques de solutions salines dans le cadre d'un procédé de stockage inter-saisonnier de l'énergie solaire	AUROUX Aline
171	Quantification des échanges convectifs naturels permanents dans les cavités hémisphériques inclinées.	BAÏRI Abderrahmane
143	Mesure des flux thermiques turbulents dans une cavité différentiellement chauffée à $Ra_H = 1,2 \times 10^{11}$	BELLEOD Pierre
131	Etude d'une installation de réfrigération solaire à absorption Fonctionne avec un panneau plan sur le site de Tlemcen	BENRAMDANE Mohammed
95	Caractérisation hydrodynamique et thermique de l'écoulement d'un fluide de Casson généralisé dans un tube cylindrique	BERABOU Welid
11	Etude expérimentale et modélisation de la condensation à très basse pression	BERRICHON Damien
67	Effet de Stockage Thermique sur la Performance d'une Serre Tunnel sous Climat Saharien	BEZARI Salah
7	Nouvelle approche d'identification par inversion des paramètres thermiques du bâtiment.	BOUACHE Toufik
19	Convection thermique avec dissipation visqueuse entre deux plans parallèles munis d'obstacles	BOUDIAF Ahlem
3	Indices d'évaluations de l'efficacité énergétique des bâtiments en Algérie	BOUTTOUT Abdelouahab
103	Développement d'un modèle numérique de micro cogénérateur biomasse	BOUVENOT Jean-Baptiste
167	Modélisation par une approche de réduction modale d'un bâtiment équipé d'un plancher chauffant réversible	BROU Stanislas
79	Etude expérimentale des cinétiques chimiques et de dynamique d'évolution de densité d'une particule de bois durant la gazéification à la vapeur d'eau	CADILE Claudia
43	Ébullition convective du R-245fa à haute température de saturation	CHARNAY Romain
119	Intensification des échanges de chaleur par l'utilisation de ferrofluides. Application au refroidissement des composants électroniques	CHERIEF Wahid
71	Modélisation d'un incendie en tunnel par un panache thermique turbulent: effet d'une ventilation longitudinale.	CREYSSELS Mathieu
75	Étude de l'influence des matériaux à changement de phase sur l'évolution de la température des cellules	DERRADJI Lotfi
159	Etude expérimentale du refroidissement liquide des équipements de télécommunication	DOUCHET Fabien
55	Modélisation d'un réacteur à lit mobile pour la production d'hydrogène à partir de biomasse	FREYSZ Valerian
123	Prédictibilité des performances énergétiques de double-peaux photovoltaïques-thermiques à grande échelle et en conditions réelles	GAILLARD Leon

39	Performances thermiques d'un échangeur « High-Efficiency Vortex » (HEV) : étude expérimentale des transferts et de l'efficacité énergétique	GHANEM Akram
87	Modélisation analytique du transfert thermique dans un capteur solaire plan à air	GRINE Ali
99	Sur la similarité entre la convection thermogravitaire et la convection thermomagnétique en zéro gravité dans une cavité rectangulaire différentiellement chauffée remplie d'un fluide paramagnétique	HAMIMID Saber
15	Formulation empirique des performances thermiques d'échangeurs de chaleur en utilisant un code de calcul deux dimensions - Effet de l'hétérogénéité de distributions de vitesse	KHALED Mahmoud
83	Étude paramétrique de l'influence de la réflectivité et du flux incident sur le rendement d'un récepteur solaire à cavité haute température	LARROUTUROU Florent
107	Stabilité linéaire de l'écoulement de Poiseuille-Rayleigh-Bénard au sein d'un film liquide infini	LE GUER Yves
147	Validation d'un modèle CFD Thermique pour un système de Double Embrayage à Sec.	LEVILLAIN Anthony
151	Effets d'un cylindre oscillant sur le transfert de chaleur dans un canal horizontal	MAHDHAOUI Hamza
27	Simulation numérique thermo-hydrodynamique appliquée au cas du soudage hybride laser/MAG en chanfrein	MATTEI Simone
35	Quelles contraintes réglementaires imposer dans le domaine du bâtiment afin de tendre vers un optimum économique et énergétique ?	MOUTON Caroline
63	Evaluation des rendements énergétiques et exergetiques du circuit du four rotatif d'une cimenterie en RD CONGO	MUNGYEKO BISULANDU Baby-Jean Robert
111	Etude thermique d'une boucle de réfrigération secondaire par coulis d'hydrates	OIGNET Jérémy
155	Modélisation et simulation numérique de la dégradation des électrodes en alliage CuCr1Zr lors du soudage par point	ROGEON Philippe
59	Conception d'un réseau de chaleur avec stockage en fonctionnement multi-périodes	SALAME Sahar
115	Analyse des transferts thermo-hydrauliques locaux dans un échangeur à plaques par simulations numériques	SARRAF Kifah
139	Stockage de chaleur dans les matériaux à changement de phase : étude expérimentale et numérique des phénomènes de transfert thermique	SOUPART Adèle
163	Forçage Radiatif dû à l'aérosol atmosphérique observé à Oujda (Maroc) en 2012	TAHIRI Abdelouahid
135	Etude paramétrique des performances d'un réacteur de zéolithe de stockage thermo-chimique de chaleur	TATSIDJODOUNG Parfait
127	Impact de la méthode de modélisation sur la simulation du comportement thermique d'un matériau contenant des microcapsules à changement de phase	TITTELEIN Pierre
31	Evaluation et modélisation du comportement thermique du corps humain et intégration du modèle dans un bureau	TULUMOGLU Perihan
23	Efficacité énergétique des transmissions mécaniques : importance des effets thermiques	VAUDREY Alexandre

**Séance d'affiches 4****Jeudi 5 juin mai de 15h00 à 16h30****Salles F002-003-004-005 + Couloir d'accès**

N° Papier	Titre	Auteur principal
96	Comportement d'un extracteur de chaleur en régime transitoire	AL HADAD Waseem
116	Réalisation d'un modèle pour le bâtiment intégrant les systèmes de récupération, de stockage et de génération de l'énergie pour un dimensionnement rapide et optimal	BEAUCHÊNE Solène
160	Optimisation technico-économique d'un cycle ORC équipant une source d'eau géothermale en vue de produire de l'électricité	BELLETTRE Jérôme
20	Prédiction numérique des émissions d'oxydes d'azote en sortie d'un foyer de combustion aéronautique	BENAROUS Abdallah
76	Effets Soret et Dufour sur la convection thermosoltale dans un milieu poreux	BENISSAAD Smail
52	Seuils d'instabilité d'un écoulement tournant de convection mixte sous champ magnétique	BESSAIH Rachid
48	Transferts en milieux poreux de haute densité pour le stockage de chaleur solaire par procédé thermochimique	BOULNOIS Gabriel
124	Etude numérique de la convection naturelle tridimensionnelle autour d'un cône de révolution incliné	CANISSIUS Ulrich
68	Développement d'un modèle rigoureux pour les machines frigorifiques à absorption	CASTILLO GARCIA Lorenzo
16	Etude du fonctionnement d'un brûleur à veine d'air avec et sans ventilateur de soufflage d'air de combustion	CHOUAIEB Sirine
8	Étude de l'effet de la variation débit de soufflage sur la structure de l'écoulement dans une chambre de combustion	CHOUARI Yoldoss
24	Méthode de suivi et d'analyse de fronts de flammes de végétation par caméras visibles : détermination de la vitesse de propagation et de la puissance dégagée par le front de flamme	COLLIN Anthony
112	Thermométrie aux nano/microchelles : couplage d'une sonde thermorésistive et d'un microcristal fluorescent.	DEGLIAME Gary
40	Étude des écoulements diphasiques en évaporation : application à l'évaporation directe dans les centrales solaires à concentration	DINSENMEYER Rémi
172	Performances et émissions d'un moteur diesel turbocompressé à injection directe. Etude paramétrique	DJEDIANE Meriem
104	Conductivité thermique effective des mousses cellulaires.	EDOUARD David
144	Condensation convective dans un échangeur à plaques brasées : effet de la surchauffe de la vapeur sur les pertes de charges et les transferts thermiques	EL ACHKAR Georges
64	Optimisation du transfert de chaleur dans les échangeurs : proposition de nouvelles géométries	EL GHARBI Najla
28	Etude du Transfert Thermique jet énergétique/particule non sphérique sous des conditions de projection thermique	HAMZA Yacine
136	Simulation et analyse des performances d'un système de stockage de chaleur intersaisonnier par absorption	HUAYLLA ROQUE Fredy

140	Étude numérique des coefficients d'échange convectifs lors d'un écoulement d'air laminaire et forcé entre deux plaques planes parallèles verticales à grand rapport de forme chauffées asymétriquement	JOULIN Annabelle
168	Méthodes de fusion de bains d'oxydes et de métaux ayant un liquidus entre 1800 et 3000 K. Application à la recherche sur les accidents graves de réacteurs nucléaires	JOURNEAU Christophe
132	Chauffage thermique d'une serre : Région d'Agadir (Maroc)	KOUSKSOU Tarik
128	Refroidissement d'un magma à viscosité thermodépendante en régime d'advection chaotique	LE GUER Yves
108	Simulation Numérique du Comportement Thermique d'un Milieu Solide destiné au Stockage de la Chaleur	MAHFOUDI Nadjiba
72	Prédiction du comportement hydrodynamique et thermique de la zone d'entrée d'un échangeur de chaleur tubulaire en configuration co-courants	MANSOURI Larbi
32	Caractérisation thermique des cellules photovoltaïque multi-jonctions par la méthode 3w	MARTAJ Nadia
44	Etude comparative de mesures d'émissivité réflectométriques et calorimétriques du LNE et du CERTES.	MONCHAU Jean-Pierre
80	Comparaison entre les voies de pyrolyse directe et étagée de la biomasse ligno-cellulosique en vue de la production des bio-huiles	OUARZKI Imane
56	Plateforme CERES: Méthodologie pour la récupération d'énergie dans les procédés industriels	PELLOUX-PRAYER Sandrine
12	Température du fluide dans un concentrateur Fresnel linéaire soumis à passages nuageux fréquents	PONS Michel
88	Simulation tridimensionnelle de la convection naturelle dans une enceinte cubique munie d'une source de chaleur localisé à sa base	RAGUI Karim
152	Etude du transfert thermique au sein de nanofluides remplissant une enceinte carrée	RAGUI Karim
120	Sur la nature de la convection dans un écoulement semi-confiné avec double diffusion thermique et massique	RIAHI Nourélyamine
100	Potentiel de rafraîchissement d'un système combinant une double-peau photovoltaïque ventilée à une machine à dessiccation	SAADON Syamimi
6	Reconstruction tridimensionnelle des défauts des matériaux par thermographie pulsée	SAHNOUN Smail
164	Étude expérimentale d'un concentrateur solaire cylindro-parabolique à génération directe de vapeur d'une centrale de micro-cogénération	SALAGNAC Patrick
4	Analyse de la génération d'entropie d'un mini-échangeur pour l'intensification du transfert thermique	TARLET Dominique
36	De l'identification en ligne de flux thermiques	VERGNAUD Alban
60	Modélisation d'une façade active comportant un Matériau à Changement de Phase	VIRGONE Joseph
92	Méthodes d'ordre élevé pour le couplage de la convection naturelle en cavité avec le rayonnement de surface	XIN Shihe



## Exposants-Sponsors :



**ATHERM**  
Z.I. – 1 rue Charles Morel  
38420 DOMÈNE – France  
[www.atherm.com](http://www.atherm.com)



**SETARAM Instrumentation**  
7 rue de l'Oratoire  
69300 CALUIRE - France  
[www.setaram.fr](http://www.setaram.fr)



**Agilent Technology SAS France**  
Parc Technopolis – ZA Courtaboeuf  
3 avenue du Canada  
CS 90263  
91978 LES ULIS CEDEX - France